

## СДВИГ КРИВОЙ СОСУЩЕСТВОВАНИЯ БИНАРНОЙ ЖИДКОЙ СМЕСИ ВСЛЕДСТВИЕ АДСОРБЦИИ НА ГРАНИЦАХ РАЗДЕЛА

С. Г. Ильина, Е. Н. Ревина

(кафедра молекулярной физики)

E-mail: iline@cs.msu.su

**В двух жидкых бинарных смесях (метанол–гептан и метанол–гексан) обнаружено изменение фазовой диаграммы при изменении площадей свободной поверхности и поверхности жидкость–стенка.**

Согласно теории, на поверхностях раздела в бинарных жидких смесях при определенных условиях могут возникать поверхностные фазы, в которых могут происходить поверхностные фазовые переходы. Если в процесс вовлекается достаточное количество вещества, то изменение объемных свойств системы становится ожидаемым. Для таких систем построена обобщенная фазовая диаграмма [1], отображающая состояние системы в объеме и на поверхности, при этом кривая сосуществования объемных фаз является одной из ее проекций. Влияние свободной поверхности (поверхности жидкость–пар) на свойства объемных фаз бинарной жидкой смеси в окрестности критической температуры достаточно подробно изучено теоретически [2, 3]. Теория формулирует условия возникновения поверхностных фазовых переходов в бинарной системе, занимающей полупространство [2], а также рассчитывает изменения, вызванные конечными размерами системы [3] в окрестности объемного фазового перехода. В работе [4] рассмотрен вопрос о влиянии свободной поверхности на петлю гистерезиса объемного фазового перехода. В настоящей работе представлены экспериментальные результаты определения кривой сосуществования двух бинарных систем метанол–гексан и метанол–гептан, измеренной при различных условиях на границах раздела жидкость–пар и жидкость–стенка.

Обнаружено, что увеличение площади свободной поверхности и поверхности жидкость–стенка вызывает сдвиг кривой сосуществования (КС) относительно расчетной кривой, изменяет величину амплитуды и критического индекса в формуле скейлинга, описывающей КС. Необходимо отметить, что в системе метанол–гептан, исследованной нами ранее, были выявлены фазовые переходы смачивания и предсмачивания на границе раздела верхняя фаза – стенка кюветы [5].

Для приготовления образцов использовались реагенты заводской очистки. Метанол дополнитель но обезвоживался, так как замечено, что содержащаяся в метаноле примесь воды приводит к значительному повышению критической температуры смешения

$T_c$  [6]. Полученные значения  $T_c$  для изучаемых смесей близки к имеющимся в литературе [7].

Для измерения объемного показателя преломления использовалась методика трапециевидной кюветы, описанная в [8]. Бинарная смесь помещалась в кювету емкостью около 30 мл, изготовленную из трубки молибденового стекла диаметром 40 мм, одно окно кюветы припаяно перпендикулярно оси цилиндра, другое – под углом  $\alpha \approx 60^\circ$ . Торцевые окна представляют собой полированные оптические пластинки толщиной 1.5 мм, изготовленные из того же стекла. Луч лазера ( $\lambda = 632.8$  нм) падает нормально на первое окно, проходит через образец и отклоняется на угол  $\varphi$  при преломлении у второго окна. Падающий и преломленный лучи лежат в горизонтальной плоскости. Показатель преломления образца вычисляется по формуле

$$n = \frac{\cos(\alpha - \varphi)}{\cos \alpha}. \quad (1)$$

Измерение углов преломления производится на гониометре ГС-5 с погрешностью не более 5 секунд, что позволяет определять показатель преломления с точностью  $10^{-4}$ . Для калибровки данного устройства измеряли показатель преломления  $n$  и температурный коэффициент  $\frac{dn}{dT}$  у чистых веществ. Полученные результаты показали хорошее согласие со справочными данными. Ошибка измерения показателя преломления не превышала  $5 \cdot 10^{-4}$ . Известно, что показатель преломления раствора вблизи границ раздела может иметь значение, отличное от объемного вследствие адсорбции. С помощью описанной методики измеряется объемное значение показателя преломления, так как любое количество адсорбционных слоев на входном и выходном окнах представляет собой набор плоскопараллельных слоев, наличие которых не изменяет итоговый угол преломления, определяемый формулой (1). При этом должно соблюдаться только одно условие: вход и выход луча лазера должны находиться вдали от боковых стенок кюветы, где возможно нарушение плоскопараллельности слоев из-за капиллярных явлений.

Кювета с образцом помещалась в массивный латунный блок, по которому циркулирует вода из

термостата. Колебания температуры не превышали 0.05 °С. Блок устанавливался на столике гониометра. Образец нагревали выше критической температуры, перемешивали встряхиванием и опускали температуру, термостатируя достаточное время в каждой точке измерения. В данной работе температура смеси в кювете определялась по температуре, измеряемой в термостате. Предварительно были проведены калибровочные температурные исследования: рабочая кювета с жидкостью снабжалась термометром. В термостате устанавливалась заданная температура  $T^*$ , при этом температура в кювете приближалась к некоторому значению  $t^*$ , меньшему, чем  $T^*$  ( $t^* < T^*$ ). Строился график зависимости  $t^*(T^*)$ , по которому в дальнейшем определялась температура в кювете. Такая калибровка одновременно определяет время установления неизменной температуры  $t^*$  в кювете. Минимальное время установления постоянной температуры в кювете, которое зависит от размеров кюветы, длины и теплоизоляции подводящих шлангов, температуры  $T^*$  и др., составляло 2–3 часа. Вблизи критической температуры это время возрастает из-за роста теплоемкости, а также из-за медленного разделения фаз и, как следствие этого, мутности раствора. Признаком установившегося равновесия считалось установление максимальной прозрачности фаз.

При фиксированной температуре измеряли показатель преломления в верхней и нижней фазах. Исследовались смеси критической концентрации с массовыми долями метанола  $x_c = 0.3505$  в системе метанол–гептан и  $x_c = 0.3420$  в системе метанол–гексан. На рис. 1 показаны КС для системы метанол–гептан, измеренные при различных условиях на границах, а также расчетная КС (кривая 4), в которой значения показателя преломления фаз вычислены по заданной бинодали. Кривая 1 соответствует измерениям в полной кювете, т. е. когда площадь свободной поверхности жидкость–пар  $S_f$  равна сечению расположенной сверху сливной трубы  $S_f = 0.3 \text{ см}^2$ . Кривая 2 составлена из таких же измерений, но при условии, что кювета заполнена примерно наполовину, при этом площадь свободной поверхности равняется  $11 \text{ см}^2$ . КС 2 заметно смещена в сторону меньших значений показателя преломления по сравнению с КС 1. Наконец, КС 3 измерена при следующих условиях: в кювету было насыпано такое количество стеклянных шариков из молибденового стекла, что суммарная площадь их поверхности равнялась площади внутренней поверхности кюветы. Кювета до верха заполнялась затем смесью критической концентрации, т. е.  $S_f = 0.3 \text{ см}^2$ . Стеклянные шарики подвергались такой же процедуре очистки, как и внутренняя часть кюветы: сначала они заливались хромпиком (раствор двухромовокислого калия в концентрированной серной кислоте), затем промывались дистиллированной водой и высушивались.

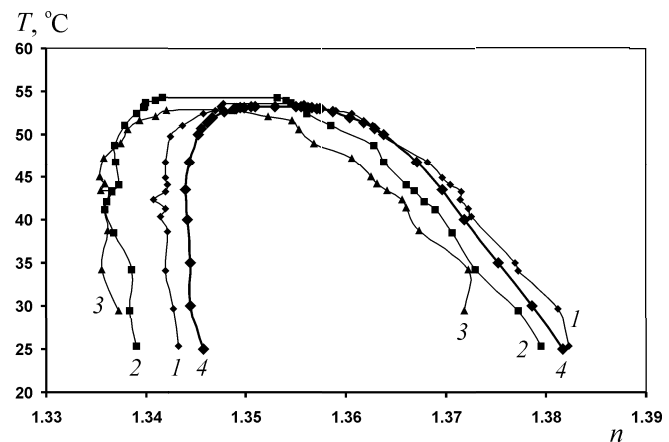


Рис. 1. Кривые сосуществования системы метанол–гептан при условиях: 1 (мелкие ромбы) —  $S_f = 0.3 \text{ см}^2$ , 2 (квадраты) —  $S_f = 11 \text{ см}^2$ , 3 (треугольники) —  $S_f = 0.3 \text{ см}^2$  + стеклянные шарики, 4 (кружики) — расчет

Для системы метанол–гексан аналогичные данные представлены на рис. 2. Кривая 3 — расчетная КС, КС 1 измерена в полной кювете,  $S_f = 0.3 \text{ см}^2$ , КС 2 измерена в кювете, наполненной до середины,  $S_f = 11 \text{ см}^2$ .

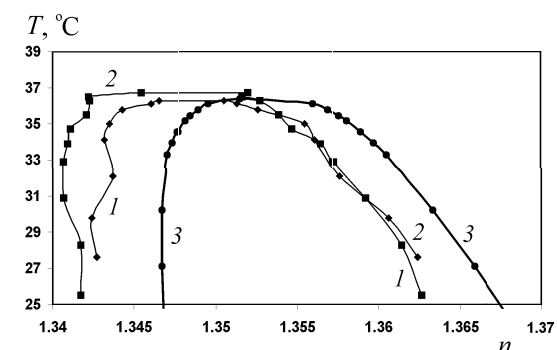


Рис. 2. Кривые сосуществования системы метанол–гексан при условиях: 1 (ромбы) —  $S_f = 0.3 \text{ см}^2$ , 2 (квадраты) —  $S_f = 11 \text{ см}^2$ , 3 (кружки) — расчет

Расчетные данные были получены по формуле из работы [9]:

$$\frac{n_{u(l)}^2 - 1}{n_{u(l)}^2 + 2} = \frac{n_1^2 - 1}{n_1^2 + 2}\phi_1 + \frac{n_2^2 - 1}{n_2^2 + 2}\phi_2, \quad (2)$$

$$\phi_1 + \phi_2 = 1, \quad (3)$$

где (2) — закон смешения для показателя преломления в верхней (нижней) фазе  $n_{u(l)}$ , (3) — условие аддитивности объемов,  $n_1, n_2$  — показатели преломления чистых компонент 1, 2,  $\phi_1, \phi_2$  — объемные концентрации компонент в фазах, т. е. данные из бинодали для данной смеси. В качестве  $\phi_1, \phi_2$  нами были взяты значения концентраций на кривой расслаивания при соответствующей температуре из работы [6]. Кривая расслаивания, регистрирующая температуры расслаивания образцов бинарной системы разной концентрации во всем интервале концентраций, представляет собой бинодаль — основополагающую информацию для бинарной системы.

**Значения параметров в формуле простого скейлинга  $n_{u(l)} = n_c \pm B\tau^\beta$ ,  
вычисленных из измерений показателя преломления при разных условиях  
на границе раздела**

| Смеси          | Условия наблюдения                              | $n_c$  | $B$               | $\beta$           | $T_c$ °C |
|----------------|---|--------|-------------------|-------------------|----------|
| Метанол–гептан | $S_f = 0.3 \text{ см}^2$                        | 1.3525 | $0.085 \pm 0.007$ | $0.314 \pm 0.016$ | 53.5     |
|                | $S_f = 11 \text{ см}^2$                         | 1.3472 | $0.075 \pm 0.008$ | $0.27 \pm 0.014$  | 54.5     |
|                | $S_f = 0.3 \text{ см}^2$<br>+ стеклянные шарики | 1.3460 | $0.097 \pm 0.010$ | $0.352 \pm 0.015$ | 53.0     |
| Метанол–гексан | $S_f = 0.3 \text{ см}^2$                        | 1.3486 | $0.073 \pm 0.008$ | $0.361 \pm 0.013$ | 36.4     |
|                | $S_f = 11 \text{ см}^2$                         | 1.3475 | $0.047 \pm 0.006$ | $0.275 \pm 0.011$ | 36.8     |

Расчетные КС, т. е. температурные зависимости показателя преломления фаз, вычисленного по формулам (2), (3) для обеих изучаемых систем, показаны на рис. 1, 2. Кривая сосуществования 1 на рис. 1 системы метанол–гептан, соответствующая образцу с малой площадью свободной поверхности, оказывается близкой к расчетной кривой 4. Если площадь свободной поверхности велика,  $S_f = 11 \text{ см}^2$ , то КС оказывается сдвинутой в сторону низких значений показателя преломления, кривая 2. Если  $S_f$  мало, но в кювете имеются стеклянные шарики, удваивающие поверхность раздела жидкость–стенка, то КС сдвинута в сторону низких значений показателя преломления еще больше, кривая 3. На левой ветви КС 1 в интервале температур 40–45 °C наблюдается разброс данных, связанный, по-видимому, с существующими здесь поверхностными переходами смачивания и предсмачивания [5].

Сдвиг КС в сторону низких значений показателя преломления наблюдается для обеих исследуемых систем при возрастании как площади свободной поверхности, так и поверхности жидкость–стекло.

Различие между системами состоит в существовании сдвига измеренной КС (кривая 1 на рис. 2) по отношению к расчетной, кривая 3, при малой площади свободной поверхности ( $S_f = 0.3 \text{ см}^2$ ) в системе метанол–гексан, тогда как в системе метанол–гептан соответствующая КС практически совпадает с расчетной (рис. 1). Это может быть вызвано большим действием стенок в системе метанол–гексан. Изменения в КС, возникающие под влиянием границ, не ограничиваются сдвигом, изменяются также форма КС и значения критической температуры.

Экспериментальные КС могут быть представлены формулой простого скейлинга

$$n_{u(l)} = n_c \pm B\tau^\beta,$$

где  $n_c$  — показатель преломления в критической точке,  $\tau = \left| \frac{T-T_c}{T_c} \right|$ ,  $T$  — текущая температура,  $T_c$  — критическая температура,  $\beta$  — критический индекс,  $B$  — амплитуда. Вычисленные параметры КС, а также измеренные значения критической температуры представлены в таблице.

Как следует из таблицы, замечается одинаковая тенденция для обеих систем к уменьшению значения критического индекса  $\beta$  при увеличении площади свободной поверхности. При возрастании площади поверхности жидкость–стекло критический индекс  $\beta$  увеличивается (система метанол–гептан). Значение амплитуды  $B$  уменьшается при возрастании  $S_f$  для обоих образцов и растет при увеличении площади поверхности жидкость–стекло (система метанол–гексан). Критическая температура увеличивается при возрастании  $S_f$  и уменьшается при увеличении площади поверхности жидкость–стекло (система метанол–гептан). Согласно теории [3], эффект конечного объема при критических условиях проявляется в возрастании значения критического индекса  $\beta$  от скейлингового значения 1/3 к среднеполовому значению 1/2 и увеличении критической температуры. Этому типу изменения соответствует случай, когда в образце с малой площадью свободной поверхности жидкость–стекло удваивалась. Возрастание же размера свободной поверхности приводит к уменьшению  $\beta$ , т. е. при этих условиях наблюдается тенденция, противоположная эффекту конечного объема. Причиной изменения концентраций компонент в объеме в системе метанол–гептан является, по-видимому, появление смачивающего слоя нижней фазы на границе раздела верхняя фаза–стенка кюветы, что было обнаружено в работе [5]. Однако если объемные фазы были бы обеднены метанолом вследствие образования поверхностного слоя, то следовало бы ожидать сдвига КС в сторону высоких значений показателя преломления. Поскольку эксперимент не подтверждает этого, можно предположить наличие слоя, обогащенного гептаном, на одной из межфазных поверхностей, для чего требуется исследовать структуру поверхностных слоев.

#### Литература

1. Nakanishi H., Fisher M.E. // Phys. Rev. Lett. 1982. **49**, No. 21. P. 1569.
2. Brey A.J., Moore M.A. // J. Phys. A: Math. Gen. 1977. **10**, No. 11. P. 1927.

3. Иванченко Ю.М., Лисянский А.А., Филиппов А.Э. // ТМФ. 1986. **67**. С. 143.
4. Иванов Н.Б., Каганов М.И. // ФТТ. 1988. **30**, № 11. С. 3319.
5. Ильина С.Г., Ионова Э.А., Павлыгина О.Г. // Вестн. Моск. ун-та. Физ. Астрон. 1999. № 4. С. 28.
6. Чернова Н.И. // Журн. физ. хим. 1965. **39**, № 10. С. 2388.
7. Aizpiri A.G., Correa J.A., Rubio R.G., Reña M.D. // Phys. Rev. 1990. **B41**, No. 13. P. 9003.
8. Ильина С.Г., Ревина Е.Н., Таешникова Р.Н. // Журн. физ. хим. 1999. **73**, № 6. С. 1033.
9. Houssou C., Guenoun P., Gasnand R. et al. // Phys. Rev. 1985. **A32**, No. 3. P. 1818.

Поступила в редакцию  
16.12.02

## ФИЗИКА ТВЕРДОГО ТЕЛА

УДК 539.172; 537.621

### ИССЛЕДОВАНИЕ МАГНИТНЫХ СВОЙСТВ И ЭФФЕКТА МЁССБАУЭРА ФЕРРИТОВ-ХРОМИТОВ $\text{CuFe}_{2-x}\text{Cr}_x\text{O}_4$

Л. Г. Антошина, А. А. Опаленко, А. И. Кокорев, А. И. Фиров

(кафедра общей физики для естественных факультетов;  
кафедра оптики и спектроскопии)

E-mail: alg@ofefc41.phys.msu.su

Исследованы мёссбауэровские спектры ферритов системы  $\text{CuFe}_{2-x}\text{Cr}_x\text{O}_4$  ( $x = 0.2, 1.0$  и  $1.4$ ) как с фрустрированной магнитной структурой, так и с обычным ферримагнитным упорядочением. Установлено, что фрустрации магнитной структуры ферритов этой системы имеют место при  $x \geq 1.0$ , что коррелирует с результатами исследований магнитных свойств.

При исследовании магнитных свойств системы  $\text{CuFe}_{2-x}\text{Cr}_x\text{O}_4$  с  $x = 0.0, 0.2, 1.0, 1.4, 1.6$  и  $2.0$  нами было установлено, что составы с параметром замещения  $x = 1.0, 1.4$  и  $1.6$  имеют аномальные магнитные свойства [1]. Обнаружено, что при понижении температуры составы с  $x = 1.0, 1.4$  и  $1.6$  при температуре Кюри  $T_C$  переходят из парамагнитного состояния в состояние кластерного спинового стекла с близким магнитным порядком. При более низкой температуре  $T_t$  магнитная структура становится фрустрированной (температура перехода  $T_t$  найдена путем экстраполяции линейной части зависимости спонтанной намагниченности  $\sigma_s(T)$  к  $\sigma_s = 0$ ).

Сравнение результатов исследования ферритов-хромитов меди с результатами исследования других аналогичных систем ферритов-шпинелей [2, 3] дает основание предполагать, что при температуре  $T_t$  в исследованной системе возникает дальний магнитный порядок.

Кационное распределение, значения температур перехода  $T_t$  и температур Кюри  $T_C$  для исследованных ферритов приведены в таблице. Данные о катионном распределении ферритов взяты из работы [4].

Представляло интерес исследовать мёссбауэровские спектры ферритов-хромитов меди как с фрустрированной магнитной структурой, так и с обычным ферримагнитным упорядочением.

В качестве объектов исследования выбраны составы с  $x = 0.2, 1.0$  и  $1.4$  (рис. 1).

| Образец                                      | Кационное распределение  | $T_t$ , К    | $T_C$ , К    |
|--|--|--------------|--------------|
| $\text{CuFe}_2\text{O}_4$                    | $\text{Fe}[\text{CuFe}]O_4$  | —            | $720 \pm 10$ |
| $\text{CuFe}_{1.8}\text{Cr}_{0.2}\text{O}_4$ | $\text{Cu}_{0.1}\text{Fe}_{0.9}[\text{Cu}_{0.9}\text{Fe}_{0.9}\text{Cr}_{0.2}]O_4$ | —            | $660 \pm 10$ |
| $\text{CuFeCrO}_4$                           | $\text{Cu}_{0.4}\text{Fe}_{0.6}[\text{Cu}_{0.6}\text{Fe}_{0.4}\text{Cr}_{1.0}]O_4$ | $420 \pm 10$ | $560 \pm 10$ |
| $\text{CuFe}_{0.6}\text{Cr}_{1.4}\text{O}_4$ | $\text{Cu}_{0.6}\text{Fe}_{0.4}[\text{Cu}_{0.4}\text{Fe}_{0.2}\text{Cr}_{1.4}]O_4$ | $295 \pm 10$ | $430 \pm 10$ |
| $\text{CuFe}_{0.4}\text{Cr}_{1.6}\text{O}_4$ | $\text{Cu}_{0.8}\text{Fe}_{0.2}[\text{Cu}_{0.2}\text{Fe}_{0.2}\text{Cr}_{1.6}]O_4$ | $245 \pm 10$ | $360 \pm 10$ |
| $\text{CuCr}_2\text{O}_4$                    | $\text{Cu}[\text{Cr}_2]\text{O}_4$   | $142 \pm 10$ | $160 \pm 10$ |

На рис. 2 даны зависимости  $(\sigma_s/\sigma_{s0})(T/T_C)$  для выбранных составов, где  $\sigma_{s0}$  — величина спонтанной намагниченности, полученная путем экстраполяции зависимости  $\sigma_s(T)$  к  $T = 0$  К. Стрелками указаны относительные температуры, при которых регистрировались мёссбауэровские спектры. Для состава с  $x = 0.2$  зависимость  $\sigma_s(T)$  — обычная кривая Q-типа (по Неелю), спектр этого соединения при  $T = 295$  К представляет собой хорошо разрешенный секстет (рис. 1, a).

Спектр для состава с  $x = 1.0$ , полученный при комнатной температуре, т. е. при  $T/T_C \approx 0.53$  в линейной части зависимости  $\sigma_s(T)$ , приведен на рис. 1, б. Заметим, что для этого состава температура перехода  $T_t$  из фрустрированной магнитной структуры в состояние кластерного спинового стекла приблизительно равна 420 К. Видно, что спектр состоит из двух секстетов, линии уширены, величина магнитного расщепления меньше по сравнению с расщеплением для состава с  $x = 0.2$ , максимальное поле  $H_{\text{eff}} \approx 406$  кЭ. Это типичный спектр, он харак-